

京都大学防災研究所 正員 芦田和男

○高橋 保

著者らは種々の境界条件下の洪水流の挙動を説明するために種々の実験を行なっており、下流水位一定の境界条件下における洪水流の挙動についても、長さ150m、断面60×60cm、勾配1/500の水路において実験を行なった結果の一部とすでに発表しているが、そのうちの顕著な特性と再記すると以下のようにある。i) 加速度項が比較的大きな洪水においては、このような境界条件の作用領域では図-1でも明らかなように、洪水の最大流量に対応する定常水位よりも洪水位が高くなる場合がある。なお図-1に示した実験波形は表-1に示すものである。

表-1 実験洪水波形

ii) 水位ピークの伝播は非常に速やく、実験を行なった洪水波形に対しては下流側に先に水位ピークが生じている。iii) このような境界条件下ではとくにアーチ面積が小さい場合には貯留量が少なくてなり、したがって流量波形の伝播速度も非常に速やくなれる。本位波形に流量ピークに先行する結果、境界条件作用領域内における水位～流量曲線のループは一様河道あるいは固定堰によるせき上げ領域でみられるものとは逆の回転を適くことになる。

ここでは以上のような実験的事実の理論的な説明を試みるとともに、いかなる条件が満足されるときにi)のような結果があらわれるかを検討し、さらにその場合の水深の近似的な求め方について考察を加えることとする。

さて堆積傍のせき上げのかなり大きな範囲における水面変動を考えることにする。図-2の記号を参照して運動方程式を差分の式で広幅の長方形断面として書くと、

$$\frac{\partial H}{\partial x} = \frac{l - \frac{g^2}{C^2 H^3} - \frac{2g}{gH^2} \frac{\partial g}{\partial x} - \frac{1}{gH^2} \frac{\partial g}{\partial t}}{1 - \frac{g^2}{gH^2}} \quad (1)$$

$$\frac{\partial H}{\partial t} + \frac{\partial g}{\partial x} = 0 \quad (2)$$

である。いま $H = H_1 + H_2 + \dots$, $g = g_1 + g_2 + \dots$ のようにして近似をとる。

$$H_1, g_1 \text{ に対して}, \quad t=0 \text{ で } H_1 = H_0(x), \quad g_1 = g_s \quad \left. \begin{array}{l} \\ \end{array} \right\} \dots \quad (4)$$

$$x=0 \text{ で } H_1 = H_w (= \text{const.}) \quad g_1 = g_w \quad \left. \begin{array}{l} \\ \end{array} \right\}$$

と仮定し、 H_2, H_3, \dots , g_2, g_3, \dots に対しては、

$$t=0 \text{ で } H_2 = H_3 = \dots = 0, \quad g_2 = g_3 = \dots = 0 \quad \left. \begin{array}{l} \\ \end{array} \right\} \dots \quad (5)$$

$$x=0 \text{ で } H_2 = H_3 = \dots = 0, \quad g_2 = g_3 = \dots = 0$$

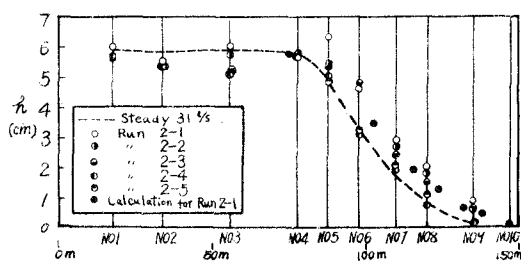


図-1 初期定常水位以上の水深の継続変化

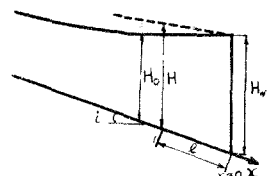


図-2 記号説明図

と仮定しよう。せき上げの大きい領域においては(1)式の右辺はほばしに導くのでオイ近似解としては、
 $H_1 = iX + H_W \quad \theta_1 = \theta_{W(X)} \quad \dots \dots \dots \quad (6)$

と考えてもよいであろう。つまにこの H_1 , θ_1 を(1)式の右辺に代入して条件(4), (5)を満足する H_2 を求めよが、その際に $iX \ll H_W$ の範囲で考慮していることに注目すると、 H_2 を X のべき級数に展開してより项以下が消え、項に残るやうであることに注意。

$$H_2 \approx \left[\left\{ \frac{2g_i}{3g_i} - \frac{k}{2} \left(1 - \frac{g}{C^2 i} \right) \right\} \frac{i}{H_W + k} - \frac{k}{\sqrt{3}} \left(1 - \frac{g}{C^2 i} \right) \frac{6k^2 i}{3k^2 + (2H_W - k)^2} \right] X \quad \left. \begin{array}{l} \\ \\ \end{array} \right\} \dots \dots \quad (7)$$

$$\theta_2 = - \int_0^X \frac{\partial H_2}{\partial t} dX \quad \text{ただし } k^2 = - g^2 / g_i$$

を考えられることがわかる。すなわちこの領域ではオイ近似解までは水位変動がほぼ直線的であると見てよいようである。

さて水位変動が直線的であるとすれば、洪水の最大流量に対する正常水深を H_s として、 $\frac{\partial H_s}{\partial t} > \frac{\partial H}{\partial t}$ のとき洪水水深 H が H_s より大きくなる。そのような条件を水位ピークに対して求めると、 $F_s^2 = \frac{g^2}{g_i H_s^2} < 1$ の場合に、

$$\frac{g^2}{H_s^2} + \frac{1}{g} \frac{C^2 (1 - F_s^2)}{1 - \frac{C^2 i}{g}} \cdot \frac{1}{H_s \frac{\partial H}{\partial t}} > \frac{g^2}{H_s^2} \quad \dots \dots \dots \quad (8)$$

となる。擾近傍においては $\frac{\partial H}{\partial t} \approx 0$ であるので(8)式は、

$$\frac{\partial H}{\partial t} > \frac{g (1 - C^2 i / g)}{C^2 H_s^2 (1 - F_s^2)} \quad \dots \dots \dots \quad (8)$$

となる。いま使用した実験水路において $H_W = 15\text{cm}$ の場合(7)式で二等辺三角形状の hydrograph を考えると底流量 5L/s 、最大流量 30L/s であると継続時間が32分以下の場合には正常水位にくらべて洪水位が高くなることが導かれる。これは図-1中の Run 2-5 に相当し実験値も正常流に近くなっており、実際河川との対応をみるために単純な相似計算によって実験水路が幅100mに相当するものとすればこの境界を越える hydrograph のピークは約 $1100\text{m}^3/\text{s}$ 、継続時間7時間に相当する。

つまに水位ピーク時は水面勾配が最大であるから $\frac{\partial H}{\partial t} = 0$ である。(1)式を上で微分すると式には現する二次方程式が得られるが、簡単な考察により符号の異なる2根のうち正根が水位ピークに対応することがわかる。すなわち水位流量曲線のループが通常の場合とは逆にならうわけである。

水位ピーク時の $\frac{\partial H}{\partial t}$ の値は、

$$\frac{\partial H}{\partial t} = H \left\{ \frac{g^2}{2C^2} \left(\frac{C^2 i}{g} - 1 \right) + \sqrt{\left\{ \frac{g^2}{2C^2} \left(\frac{C^2 i}{g} - 1 \right) \right\}^2 + g \left(1 - \frac{g^2}{g_i H_s^2} \right) \frac{\partial^2 H}{\partial t^2} \left(\frac{1}{w} - \frac{H}{g} \right)} \right\} \dots \dots \quad (10)$$

のようになる。ここに $w = 10\text{m}$ $\frac{\partial^2 H}{\partial t^2} = \text{const.}$ の伝播速度でいまでの条件下では $\frac{1}{w}$ より十分大であると思考される。式の最大値をピークよりも以前にある通常の波形では左上げ背水条件下で水位ピークから下流側に先に生起することから(10)式より説明される。またこの式より $\frac{1}{w}$ を $\frac{H}{g}$ に対して省略し 流量波形が変形なしに伝播すると考えて両辺の等しくなる H を試算的に見出し、下の式によつてその水深の生起してより下流域からの距離を求めることができます。

$$\lambda = (H_W - H) \left\{ \left(1 - \frac{H}{H_W} \right)^3 \right\} / \left\{ \left(1 - \frac{H}{H_W} \right)^3 - \left(\frac{H}{H_W} \right)^{\frac{2g}{g_i}} \right\} \dots \dots \quad (11)$$

図-1中の印はこのようにして求めた H ピークの値で実験値とはあまりよくあつていなか大体の傾向は示しているものと思われる。

参考文献　(1)芦田、高橋：洪水流に関する実験的研究、昭和40年度関西支局講演概要